

AEG Thyatron

ASG 6574

Tetrode mit Edelgasfüllung
Inert gas-filled Tetrode
Tétrode avec remplissage à gaz rare

Glasausführung

Glass type
Exécution verre

Socket B 6-3

Oxydkathode

Oxyde-coated-cathode
Cathode à oxyde

indirekt geheizt durch Gleich- oder Wechselstrom
indirectly D. C. or A. C. heated
chauffée indirectement par courant continu ou alternatif

Montageanordnung

Mounting position
Disposition de montage

beliebig
any
quelconque

Gewicht

Weight
Poids

0,05 kg

a = Anode

Anode
Anode

k = Kathode

Cathode
Cathode

g₁ = Steuergitter

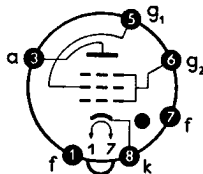
Control grid
Grille de réglage

g₂ = Schirmgitter

Screen grid
Grille de protection

f = Heizung

Heating
Chauffage



**Sockelschaltbild
von unten gesehen**

Base connection
viewed from below

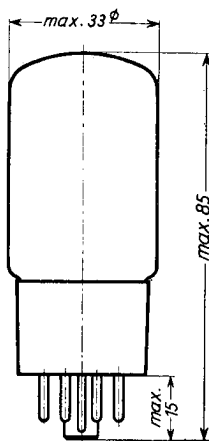
Broches de la base,
face à l'observateur

Abmessungen

Dimensions

Dimensions

} mm



Freie Kontakte der Fassung dürfen nicht als Stützpunkte für Schaltmittel benutzt werden.

Free socket contacts must not be used for supporting any circuitry.
Les contacts libres de la douille ne doivent pas servir de points d'appui pour la filerie.

AEG Thyatron

ASG 6574

Technische Werte Technical data Caractéristiques techniques

Heizspannung

Filament voltage
Tension de chauffage

U_f

$6,3 V \pm 10 \%$

Heizstrom

Filament current
Courant de chauffage

I_f

ca.
abt.
env.)

0,95 A

Anheizzeit

Cathode-heating time
Durée de préchauffage

t_h

15 s

Anodenspannung-Scheitelwert

Anode voltage (crest value)
Tension anodique (valeur de crête)

U_{asp}

max. 650 V

Sperrspannung-Scheitelwert

Inverse voltage (crest value)
Tension d'arrêt (valeur de crête)

U_{inv}

max. 1300 V

Anodenstrom-Scheitelwert

Anode current (crest value)
Courant anodique (valeur de crête)

I_{asp}

2 A

Anodenstrom-Mittelwert

Anode current (average)
Courant anodique (valeur moyenne)

I_a

0,3 A

Überlastungsstromstoß

(für max. 0,1 s)*

Surge current of max. 0,1 s
for design only*

Impulsion de courant anodique
accidental de pointe admissible
pendant 0,1 s max.*

I_{stoB}

10 A

Negative Spannung am Steuergitter bei gesperrter [gezündeter] Röhre (Scheitelwert)

Negative control grid bias of non-
conducting [conducting] tube (crest
value)

Tension négative de grille régula-
trice pour tube bloqué [allumé]
(valeur de crête)

$U_{g,sp}$

max. —250 V
[max. — 10 V]

* Angaben umseitig

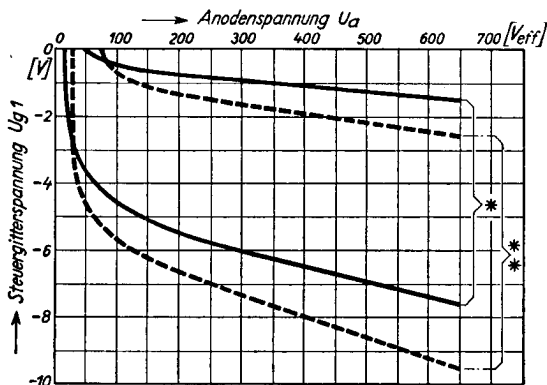
Particulars overleaf
Données au verso

Negative Spannung am Schirmgitter bei gesperrter [gezündeter] Röhre (Scheitelwert)			
Negative screen grid bias of non-conducting [conducting] tube (crest value)	U_{g2sp}		} max. —100 V [max. — 10 V]
Tension négative de grille protectrice pour tube bloqué [allumé] (valeur de crête)			
Steuergitterstrom-Scheitelwert			
Control grid current (crest value)	I_{g1sp}	bei $U_a < -10 V$	} max. 0,1 A
Courant de grille régulatrice (valeur de crête)		à	
Steuergitterstrom-Mittelwert			
Control grid current (average)	I_{g1}	bei $U_a > -10 V$	} max. 0,02 A
Courant de grille régulatrice (valeur moyenne)		à	
Schirmgitterstrom-Mittelwert			
Screen grid current (average)	I_{g2}	bei $U_a > -10 V$	} max. 0,02 A
Courant de grille protectrice (valeur moyenne)		à	
Zulässige Spannung zwischen Heizung f und Kathode k			
Max. permissible voltage between filament f and cathode k	}	f neg. gegen k	} —100 V
Tension admissible entre chauffage f et cathode k		f neg. against k	
		f neg. contre k	
		f pos. gegen k	
	f pos. against k		
		f pos. contre k	
Brennspannung			
Arc voltage drop		U_B	} 10 V
Chute dans l'arc			
Integrationszeit			
Integration time		τ	} max. 15 s
Temps d'intégration			
Ionisationszeit			
Ionization time		t_i	} < 0,5 μs
Temps d'ionisation			
Freiwerdzeit			
Recovery time	t_r	bei $U_{g1} = -10 V$	75 μs
Temps de recouvrement		à $U_{g1} = -100 V$	35 μs
Gitterwiderstand			
Grid resistance		R_g	} max. 10 M Ω
Résistance de grille			
Gitter-Anoden-Kapazität			
Grid-anode capacity		C_{ga}	} 0,03 pF
Capacité anode-grille			
Eingangs-Kapazität			
Grid-filament capacity		C_e	} 2,1 pF
Capacité d'entrée			
Ausgangs-Kapazität			
Anode-filament capacity		C_a	} 2,7 pF
Capacité de sortie			
Umgebungstemperatur			
Ambient temperature		t_{amb}	} min. —75° C
Température ambiante			

* Jeder Überlastungsstromstoß schädigt die Röhre, ohne sie jedoch völlig zu zerstören.

Each overcurrent impulse is harmful, will, however, not destroy the valve completely.

Tout appel de courant de surcharge endommage le tube, sans cependant le détruire complètement.



- | | | | |
|---------------------|-----|---|--------------------------------|
| * Streubereich | bei | } | $R_{g1} = 0,1 \text{ M}\Omega$ |
| Zone of allowance | at | | |
| Bande de dispersion | à | | |
| ** Streubereich | bei | } | $R_{g1} = 10 \text{ M}\Omega$ |
| Zone of allowance | at | | |
| Bande de dispersion | à | | |

Kennlinienbereich bei Anschluß des Schirmgitters an die Kathode.

Firing characteristics of screen-grid thyatron with screen grid connected directly to cathode.

Bande des caractéristiques pour raccord de la grille protectrice à la cathode.

- | | | |
|-------------------------------|---|-------------------------------|
| Anodenspannung U_a | { | RMS anode voltage |
| | { | Tension anodique |
| Steuergitterspannung U_{g1} | { | Control-grid bias |
| | { | Tension de grille régulatrice |